

بررسی تأثیر پارامترهای مهم شبیه‌سازی احتمالی زمین‌لرزه براساس روش گسل محدود

حسن مقدم^۱، نادر فنایی^{۲*} و حسین حمزه‌لو^۳

^۱ استاد دانشکده عمران، دانشگاه صنعتی شریف، تهران، ایران

^۲ دانشجوی دکتری زلزله، دانشگاه صنعتی شریف، تهران، ایران

^۳ استادیار پژوهشگاه بین‌المللی زلزله‌شناسی و مهندسی زلزله، تهران، ایران

(دریافت: ۸۶/۳/۱، پذیرش نهایی: ۸۶/۱۰/۲۵)

چکیده

برخلاف لرزش‌های بلند دوره زمین ناشی از زمین‌لرزه که قابل پیش‌بینی و برآوردن لرزش‌های بسامد زیاد زمین ماهیتی تصادفی دارند و به صورت احتمالی رفتار می‌کنند. در مناطقی که ثبت‌های شتاب‌نگاری وجود ندارد می‌توان از روش احتمالی بور اقدام به شبیه‌سازی لرزش‌های بسامد زیاد زمین‌لرزه کرد. روش‌های شبیه‌سازی احتمالی بر دو نوع اند: در نوع اول منبع لرزه‌ای منبعی نقطه‌ای است و در نوع دوم که شبیه‌سازی براساس گسل محدود نام دارد، منبع لرزه‌ای یک گسل مستطیلی است که در راستای طولی و عرضی خود به صورت منابع نقطه‌ای یکسان‌مانندی شده است. سه پارامتر ضربیت، کاپا و افت تنش از جمله پارامترهای مهم شبیه‌سازی براساس گسل محدودند که در این تحقیق مورد بررسی قرار گرفته‌اند. در این تحقیق مشخص شده است که اثر عمد ضربیت کیفیت براساس گسل محدودهای زیاد است و تغییر این پارامتر تأثیر چندانی روی شتاب‌های طیفی در بسامدهای کم ندارد. همچنین با افزایش کاپا مقدار شتاب‌های طیفی و همچنین شتاب ماکریوم زمین، PGA کاهش می‌یابد؛ البته مقدار کاهش شتاب‌های طیفی در بسامدهای زیاد، بیشتر است و در نهایت افزایش افت تنش مقدار شتاب‌های طیفی را افزایش می‌دهد که مقدار این افزایش در بسامدهای زیاد قابل توجه است. در این تحقیق اثر سرعت موج برشی و چگالی نیز روی شتاب‌های شبیه‌سازی شده بررسی شده است.

واژه‌های کلیدی: شبیه‌سازی، گسل محدود، شتاب طیفی، ضربیت کیفیت، کاپا، افت تنش

The effect of important parameters on simulation based on stochastic finite fault modeling

Moghaddam, H¹., Fanaie, N². and Hamzehloo, H³.

¹Professor, Department of Civil Engineering, Sharif University of Technology, Tehran, Iran

²Ph.D student, Department of Civil Engineering, Sharif University of Technology, Tehran, Iran

³Assistant Professor, International Institute of Earthquake and Seismology, Tehran, Iran

(Received: 22 May 2007 , Accepted: 15 Jan 2008)

Abstract

Contrary to the long period ground motions that can be predicted and estimated, high frequency ground motions have random character and behave stochastically. Stochastic modeling methods are usually used for the modeling of high frequency ground motions where there are not strong ground motion records. Stochastic methods are of two kinds: in the first one, the seismic source is considered as a point source and in the second, modeling is based on the finite fault. Seismic source is considered as a rectangular fault plane divided by some subfaults in its longitudinal and traversal directions.

Stochastic modeling method, using the seismic point source was presented by Boore in 1983. In the Boore stochastic method, the high frequency motions of earthquakes can be presented as the Gaussian noise with limited frequency band having the mean source spectrum w^2 . In this method a shape function is applied to a time series of white noise with zero mean, bringing it out of the stationary status, then the Fourier transform is applied to the noise and the amplitude spectrum of this time series is substituted by a desired spectrum and the phase spectrum remains unchanged. Transformation back to the time domain results in a time series whose amplitude spectrum is exactly in accordance with a specified spectrum.

In the simulation based on finite fault modeling, each subfault is considered as a point source, using the source model presented by Brune with a corner frequency and a constant stress drop. The target accelerogram is obtained by summation of accelerograms generated by each subfaults and by considering their corresponding delay times. This simulation method is used broadly in the assessment of strong ground motions. The first ground motion simulation program, FINISM, was finite fault modeling, based on the Boore stochastic method. The new version of the FINISM program, which is called EXSIM, has been used in this study.

Three parameters, quality factor, kappa and stress drop which have effects on the high frequency amplitudes, are important parameters in stochastic modeling which are considered in this study. Moreover the effects of shear wave velocity and density on the simulation accelerations are studied as well. In these simulations to distinguish the effect of a specific parameter, the amount of that parameter is changed, while other parameters are kept constant. It is found that the main effect of quality factor is in the high frequencies and variation of this parameter has no significant effect on the spectral accelerations in low frequencies. With increasing quality factor, the spectral accelerations as well as peak ground acceleration (PGA) which correspond to the spectral accelerations in high frequencies, will increase. This increase is greater in high frequencies and smaller in the low ones. The spectral acceleration and PGA reduce when kappa increases but the acceleration reduction is higher in high frequencies. It has been seen that the spectral accelerations increase with the increase in stress drop. Of course, this increment is small in low frequencies, but considerable in high frequencies. Rupture velocity is usually assumed as 80% of shear wave velocity. As shear wave velocity increases, the rupture velocity increases as well and consequently the fault will fracture more rapidly. Therefore, the delay time of subfault pulses reaching the observation point will reduce. This shows that if shear wave velocity increases, the duration of simulated accelerograms reduces slightly.

Finally the density effect on the simulation results is investigated in this study and it is concluded that if the density increases by α then PGA, spectral accelerations and Fourier amplitude of simulated accelerogram will increases by $1/\alpha$.

Key words: Simulation, Finite fault, Spectral acceleration, Quality factor, Kappa, Stress drop

۱ مقدمه

روش منبع نقطه‌ای نمی‌تواند پارامترهای کلیدی لرزش زمین در یک زمین‌لرزه بزرگ، مانند مدت زمان طولانی و وابستگی دامنه‌ها به آزمیوت ایستگاه مشاهده (اثر جهت‌پذیری) را در نظر بگیرد. به خاطر این محدودیت‌ها در ۱۹۷۸ روشن مدل‌سازی براساس گسل محدود از سوی هاتزل ارائه شد و در دو دهه گذشته مقبولیت زیادی یافت

منبع نقطه‌ای است از مدل منبع ارائه شده از سوی برون با یک بسامد گوشش و یک افت تشن ثابت استفاده می‌کند. این روش شبیه‌سازی، روش مناسبی است و به طور گستردگی در برآورد جنبش نیرومند زمین از آن استفاده می‌شود. البته در فواصل دور از گسل، یک منبع صفحه‌ای می‌تواند به صورت منبی نقطه‌ای درنظر گرفته شود و از آنجا که شبیه‌سازی با منبع نقطه‌ای محاسبات کمتری نیاز دارد، مناسب‌تر است. ارزیابی نتایج منبع نقطه‌ای و منع صفحه‌ای مشخص می‌کند که مدل منبع صفحه‌ای برآوردهای دقیق‌تری را نسبت به مدل منبع نقطه‌ای در تناوب‌های بیش از یک ثانیه می‌دهد. برای تناوب‌های کمتر از یک ثانیه هر دو مدل نتایج قابل مقایسه و خوبی را به دست می‌دهند.

در این مقاله روش مدل‌سازی براساس گسل محدود تشریح شده است و پیشرفتهای به دست آمده در برنامه‌های شبیه‌سازی در این روش بیان شده است، سپس تأثیر پارامترهای مهم مورد استفاده در شبیه‌سازی براساس گسل محدود مورد تجزیه و تحلیل قرار می‌گیرد و با تغییر پارامترهایی مانند ضریب کیفیت، کاپا و افت تنش، اثر این پارامترها روی شتاب‌نگاشتهای شبیه‌سازی شده هدف این تحقیق، مشخص شده است. همچین اثر سرعت موج برشی و چگالی نیز بر شبیه‌سازی بررسی شده است. با توجه به اینکه روش شبیه‌سازی گسل محدود بر مبنای روش احتمالی بور (Boore) است در ادامه روش احتمالی بور و طیف منبع لرزه‌ای مورد استفاده در این روش و همچنین سایر عوامل مؤثر در شبیه‌سازی مانند انواع میرایی‌ها و اثر ساختگاه و پدیده تشیدی بررسی می‌شود.

۲ روش احتمالی بور

در روش احتمالی بور لرزش‌های بسامد زیاد زمین‌لرزه را می‌توان در نقش نوفه گوسی با باند بسامدی محدود که

(هاتزل، ۱۹۷۸). روش مدل‌سازی براساس گسل محدود جنبه‌های منبع صفحه‌ای را با مدل لرزش زمین بر اساس منبع نقطه‌ای ترکیب می‌کند و از آنجا که محدودیت‌های ذکر شده به طور طبیعی در روش مدل‌سازی براساس گسل محدود وجود ندارد، این روش هندسه شکست و اثر جهت‌پذیری را در نظر می‌گیرد و نتایج خوبی را به دست می‌دهد. برای شبیه‌سازی با استفاده از گسل محدود، از روش تأخیر زمانی و جمع شتاب‌نگاشتهای مربوط یک شبکه دو بعدی شامل المانها استفاده می‌شود. در این مدل که چندی بعد مورد استفاده عملی ایریکورا، همچنین برسنو و اتکینسون قرار گرفت برای توصیف فرایند لغزش گسل از مدل منبع سینماتیکی استفاده می‌شود (ایریکورا، ۱۹۹۲). مدل منبع سینماتیکی شامل هندسه شکست گسل (مساحت شکست‌خورده، راستای گسل و شب گسل)، نقطه شروع شکست و سرعت شکست می‌شود. در این روش یک صفحه مستطیلی برای گسل در نظر گرفته می‌گیرند، صفحه گسل را نیز به المان‌های مستطیلی تقسیم می‌کنند و فرض می‌شود که شکست که از مرکز یکی از المان‌ها (کانون زمین‌لرزه) شروع شده است، به صورت شعاعی انتشار می‌یابد. سرعت انتشار شکست معمولاً ۸۰ درصد سرعت موج برشی در نظر گرفته می‌شود (برسنو و اتکینسون، ۱۹۹۸). هر خرد گسل وقتی که شکستگی به مرکز آن می‌رسد، به صورت یک منبع کوچک مستقل لرزه‌ای عمل می‌کند و شروع به تابش انرژی لرزه‌ای می‌کند. تاریخچه زمانی شتاب با در نظر گرفتن روابط زمانی تجربی وابسته به فاصله، میرایی هندسی و مدل‌های میرایی Q به نقطه مشاهده انتشار پیدا می‌کند. شتاب‌نگاشتهای به دست آمده از هر المان که براساس طیف منبع برون است، با در نظر گرفتن تأخیر زمانی متناظرšان با یکدیگر جمع می‌شوند تا شتاب‌نگاشت کلی حاصل از کل صفحه گسل به دست آید. در روش شبیه‌سازی براساس گسل محدود هر المان که به متله یک

تابع تعريف می‌شود. اين طيف را می‌توان بهصورت حاصل ضرب تعدادی از توابع در حوزه بسامد در نظر گرفته شود (بور، ۲۰۰۳):

$$A_x(f) = S(f).G.A_n(f).P(f).V(f) \quad (1)$$

در رابطه ۱، $S(f)$ تابع منبع، G تابع میرایی هندسی، $A_n(f)$ تابع میرایی غیرکشسان سراسر مسیر، $P(f)$ تابع میرایی پوسته بالایی و $V(f)$ تابع تشديد پوسته است.

۱-۳ تابع منبع $S(f)$

طيف دامنه فوريه مدل منبع نقطه‌اي برون برای شتاب امواج برشی توليد شده در منبع بهصورت زير است (بور، ۲۰۰۳):

$$S(f) = \frac{CM_0(2\pi f)^2}{1 + \left(\frac{f}{f_c}\right)^2} \quad (2)$$

در رابطه فوق C يك ضريب مقیاس، M_0 ممان لرزه‌ای، f بسامد و f_c بسامد گوشه است. ضریب مقیاس C در رابطه (۲) بهصورت زیر تعريف می‌شود:

$$C = \frac{R_{\theta\phi}(F_s)(PRTITN)}{4\pi\rho\beta^3} \quad (3)$$

كه $R_{\theta\phi}$ ضریب الگوی تابش (۰,۵۵)، F_s ضریب تشید سطح آزاد (۲)، $PRTITN$ ضریب پخش انرژی به راستاهای افقی (۰,۷۰۷)، ρ چگالی سنگ در عمق شکست و β سرعت موج برشی سنگ در عمق شکست است.

مدل منبع تعريف شده با معادله ۳ در حکم مدل منبع^۲ يا منبع برون شاخته می‌شود. f_c که بر دامنه شتاب تأثیرگذار است و محتواي بسامدي زلزله توليد شده در منبع را کنترل می‌کند، متناسب با عکس زمان شکست گسل است و از رابطه زير بهدست می‌آيد (بور، ۲۰۰۳).

طيف منبع ميانگين^۲ را دارد ارائه کرد بور در ۱۹۸۳ روش شبيه‌سازی احتمالي را که از منبع لرزه‌اي نقطه‌اي استفاده می‌کند، ارائه کرد. مبنای اين روش اين است که در ابتدا برای يك سري زمانی مربوط به نوافه سفيد با ميانگين صفر، تابع شكلی اعمال می‌شود و آن را از حالت ايستا خارج می‌کند، سپس از اين نوافه تبديل فوريه گرفته می‌شود و طيف دامنه اين سري زمانی با يك طيف دلخواه که در ادامه تشریح خواهد شد، جايگزين می‌شود، ولی طيف فاز بدون تعغير باقی می‌ماند. با انتقال نتایج به حوزه زمان، يك سري زمانی بهدست می‌آيد که طيف دامنه‌اش دقیقاً بر طيف مشخصی منطبق است. نمودار استفاده شده برای طيف دامنه می‌تواند نوسان با باند محدود در ثبت را معرفی کند (بور، ۱۹۸۳). به خاطر موفقیت اين روش در برآورد شتاب ماکزیموم، يك طيف^۲ به همراه میرایی غیرکشسان مربوط به مسیر با پارامتر افت تنش ثابت ($\Delta\sigma$) در روش شبيه‌سازی بور استفاده شده است. به نظر می‌رسد که اين روش بتواند همه جنبه‌های اساسی لرزش‌های بسامد زياد زمين را برای طيف وسیعی از زمين‌لرزه‌های با بزرگای متفاوت در نظر بگيرد. کاربرد روش بور نياز به شکل طيفي دامنه در نقش تابعي از اندازه زمين‌لرزه دارد. در روش احتمالي بور فقط مشارکت امواج برشی در لرزش زمين در نظر گرفته شده است و می‌دانيم که تقریباً در همه حالات و بهخصوص مؤلفه‌های افقی جنبش زمين، امواج برشی امواج غالب هستند. يكی از محدودیت‌های روش احتمالي بور اين است که اين روش فقط تپ متناظر موج برشی را تولید می‌کند و قادر به شبيه‌سازی فازهای رسید امواج سطحی ريلی و لاونیست (اتکینسون و سیلو، ۲۰۰۰).

۳ طيف منبع لرزه‌اي

طيف دامنه تبديل فوريه لرزش زمين که در روش شبيه‌سازی احتمالي بور استفاده می‌شود بحسب چندین

۵-۳ تابع تشذید پوسته بالایی $V(f)$

تغییر در دامنه امواج برشی لرزه‌ای که از مرز بین دو میدان عبور می‌کند (از A به B) با توجه به اصل بقای انرژی صورت می‌گیرد. ضریب تشذید $V(f)$ را بور و جوینر در ۱۹۹۷ به صورت زیر تعریف کرداند (بور و جوینر، ۱۹۹۷):

$$V(f) = \sqrt{\frac{\rho_A V_A}{\rho_B V_B}} \quad (8)$$

که ρ_A و ρ_B ، همچنین V_A و V_B به ترتیب چگالی‌ها و سرعت‌های امواج برشی در محیط‌های A و B هستند.

۴ پیشرفت برنامه‌های شبیه‌سازی به روش گسل محدود

اولین برنامه شبیه‌سازی زمین‌لرزه با روش گسل محدود FINSIM که براساس روش احتمالی بور نوشته شد برنامه FINITE FAULT SIMULATON بود که نام آن از عبارت گرفته شده است. این برنامه را که برسنو و اتکینسون در ۱۹۹۷ نوشتند، مورد استفاده بسیاری از محققان قرار گرفته است (برسنو و اتکینسون، ۱۹۹۸). نسخه جدیدتر برنامه FINSIM با نام EXTENDED FAULT SIMULATON در سال ۲۰۰۲ معتقدیان و اتکینسون نوشته‌اند. تفاوت‌های عمده برنامه‌های شبیه‌سازی FINSIM و EXSIM عبارت است از (معتضدیان و اتکینسون، ۲۰۰۵):

۱. در FINSIM بسامد گوشه ثابت باقی می‌ماند و با گسترش شکست صفحه گسل تغییر نمی‌کند ولی در EXSIM بسامد گوشه تابع زمان است.
۲. EXSIM انرژی ثبت‌های شبیه‌سازی شده را با تغییر اندازه خردگسل‌ها ثابت نگه می‌دارد در صورتی که در FINSIM چنین مسئله‌ای مشاهده نمی‌شود.
۳. FINSIM برخلاف EXSIM فقط برای شبیه‌سازی

$$f_c = 4.9 \times 10^6 \beta \left(\frac{\Delta \sigma}{M_0} \right)^{\frac{1}{3}} \quad (4)$$

که در این رابطه، β بر حسب بار و $\Delta \sigma$ km/s بر حسب دین سانتی‌متر است. M_0 بر حسب دین سانتی‌متر است.

۲-۳ تابع میرایی هندسی

تابع G که بیانگر میرایی هندسی است به صورت زیر بیان می‌شود (بور، ۲۰۰۳):

$$G = \left(\frac{R_0}{R} \right)^n \quad (5)$$

که R فاصله از منع نقطه‌ای و R_0 فاصله واحد است و توان n به فاصله R بستگی دارد. گسترش کروی این امواج باعث کاهش دامنه طیف فوریه به صورت $\frac{1}{R}$ می‌شود. $n = 1$.

۳-۳ تابع میرایی غیرکشسان در کل مسیر

برای در نظر گرفتن میرایی غیرکشسان $A_n(f)$ را بور و اتکینسون در ۱۹۸۷ به صورت زیر ارائه کردند (بور و اتکینسون، ۱۹۸۷):

$$A_n(f) = e^{-\frac{\pi f R}{Q \beta}} \quad (6)$$

که f بسامد موج، طول مسیر طی شده، β سرعت موج برشی و Q ضریب کیفیت انتقال موج است.

۴-۳ تابع میرایی پوسته بالایی $P(f)$

برای $A_n(f)$ عبارت‌های مشابهی انتخاب شده و معادله $P(f)$ به صورت زیر درآمده است (اتکینسون و سیلو، ۱۹۹۷):

$$P(f) = e^{-\pi K f} \quad (7)$$

در رابطه فوق پارامتر K که کاپا نامیده می‌شود، بر حسب ثانیه است.

۵ بررسی تأثیر پارامترهای مهم شبیه‌سازی با استفاده از گسل مسبب زمین‌لرزه پارک‌فیلد

برای بررسی تأثیر پارامترهای مهم شبیه‌سازی در برنامه EXSIM، علاوه بر استدلال‌های ریاضی، شبیه‌سازی‌هایی با این برنامه با استفاده از گسل مسبب زمین‌لرزه پارک‌فیلد صورت گرفته است. در این شبیه‌سازی‌ها برای تشخیص اثر یک پارامتر مشخص، بدون تغییر مقدار سایر پارامترها فقط مقدار پارامتر مورد نظر تغییر داده شده است و مجموعه نتایجی کلی به دست آمده که در ادامه آورده شده است.

سه پارامتر ضریب کیفیت، کاپا و افت تنش بر دامنه بسامدهای زیاد اثر دارند که در ادامه اثر آنها به همراه اثرات سرعت موج برشی و چگالی بررسی شده است:

۱. اثر ضریب کیفیت (Q): ضریب کیفیت معمولاً در مقالات به صورت $Q = Q_0 f^\eta$ در نظر گرفته می‌شود و در برنامه EXSIM هم Q_0 و η از پارامترهای ورودی هستند. با توجه به روابط (۱) و (۶) دیده می‌شود که اثر عمدۀ ضریب کیفیت در بسامدهای زیاد است و تغییر این پارامتر تأثیر چندانی بر شتاب‌های طیفی بسامدهای کم ندارد. با استفاده از گسل مسبب زمین‌لرزه پارک‌فیلد، سه ثابت با EXSIM شبیه‌سازی شده است که در این شبیه‌سازی‌ها با ثابت نگه داشتن سایر پارامترها از مقادیر ۱۲۰ و ۱۸۰ و ۲۴۰ برای Q_0 استفاده شده است. با توجه به نمودار شکل ۱ و همچنین با توجه به روابط (۱) و (۶) دیده می‌شود که با افزایش Q_0 مقدار شتاب‌های طیفی و همچنین PGA (که همان شتاب طیفی نظیر بسامدهای زیاد است) افزایش می‌یابد، البته مقدار افزایش شتاب طیفی در بسامدهای زیاد بزرگ‌تر و در بسامدهای کم کوچک‌تر است. برای بررسی تأثیر η نیز سه ثابت با EXSIM شبیه‌سازی شده است که در این

زمین‌لرزه‌هایی با بزرگ‌گای بیش از ۵/۰ قابل استفاده است.

۴. برنامه EXSIM از روشهای ترکیبی استفاده می‌کند، بدین صورت که بسامدهای بلند را با استفاده از روش احتمالی بور تولید می‌کند و قابلیت این را هم دارد که بسامدهای کوتاه را از با استفاده از روشهای تحلیلی تولید کند و از ترکیب آنها ثبت شبیه‌سازی شده را به دست آورد. این در صورتی است که برنامه FINSIM فقط از روش احتمالی بور استفاده می‌کند و بنابراین قادر به شبیه‌سازی تپ‌های بلند دوره نیست.

۵. در FINSIM اندازه خردگسل‌ها برای شبیه‌سازی از ضابطه مشخصی تعیت می‌کند و پارامتری اختیاری نیست. این محدودیت برای برنامه EXSIM یک اشکال است چون قاعده‌تاً باید ثبت‌های شبیه‌سازی شده زمین‌لرزه مستقل از ابعاد خردگسل‌ها باشد.

۶. شبیه‌سازی براساس EXSIM ثبت‌های واقعی‌تری را نسبت به شبیه‌سازی با FINSIM تولید می‌کند. در FINSIM برای شبیه‌سازی زمین‌لرزه‌های بزرگ (مثلًاً با بزرگ‌گای ۸/۰) بایستی اندازه خردگسل‌ها بزرگ باشد که این اغلب باعث می‌شود گپ‌های مصنوعی در تاریخچه زمانی رکوردد شبهه سازی شده ایجاد شود (به خصوص در شبیه‌سازی حوزه نزدیک). این مشکل در EXSIM با انتخاب یک اندازه کوچک برای خردگسل‌ها قابل حل است.

۷. یکی از اشکالات FINSIM این است که در این برنامه هر خردگسل برای آزاد کردن انرژیش باید چند بار موج لرزه‌ای منتشر کند که این مطلب معنای فیزیکی ندارد. در EXSIM این مشکل مرتفع شده است و هر خردگسل به نحوی که به واقعیت بسیار نزدیک‌تر است، فقط با یک بار انتشار موج لرزه‌ای، انرژیش را آزاد می‌کند.

ثبت با مقادیر $120, 90, 60$ شبیه‌سازی شده است. با توجه به نمودار شکل ۵ دیده می‌شود که با افزایش افت تنش، مقدار شتاب‌های طیفی افزایش می‌یابد البته مقدار این افزایش در بسامدهای کم ناچیز ولی در بسامدهای زیاد، قابل توجه است. با توجه به معادلات (۲) و (۴) نتیجه می‌شود که هر دو پارامتر تکانه لرزه‌ای و افت تنش روی محتوای بسامدی امواج برشی تولید شده در منبع زمین‌لرزه تأثیر می‌گذارند. شتاب طیفی متناسب با $M_0 f_c^2$ است و در نتیجه با

توجه به رابطه (۴) متناسب با $\frac{2}{3} M_0^{\frac{1}{3}}$ است. از اینجا نتیجه می‌شود که شتاب طیفی اساساً وابسته به افت تنش است و به میزان کمتری به تکانه لرزه‌ای وابستگی دارد. با افزایش افت تنش، مقدار شتاب‌های طیفی افزایش و با کاهش افت تنش، مقدار شتاب‌های طیفی کاهش می‌یابد.

می‌دانیم که مقدار سرعت ماکریوم زمین (PGV) به محتوای بسامدهای متوسط حساس است و مقدار جابه‌جایی ماکریوم زمین (PGD) هم به محتوای بسامدهای کم حساس است. بنابراین نتیجه می‌شود که تأثیر افزایش افت تنش در افزایش شتاب ماکریوم زمین نسبت به افزایش سرعت و جابه‌جایی ماکریوم زمین بیشتر است. همچنین با توجه به رابطه (۴) مشخص است که افزایش افت تنش باعث افزایش بسامد گوشش ثبت شبیه‌سازی شده می‌شود. قابل ذکر است که افت تنش بر حسب بار سنجدیده می‌شود و از آنجا که این پارامتر مستقیماً قابل اندازه‌گیری نیست، عدم قطعیت زیادی در مورد این پارامتر وجود دارد. مثلاً شتاب ماکریوم زمین به راحتی از روی شتاب‌نگاشت ثبت شده خوانده می‌شود ولی پارامتر افت تنش مستقیماً قابل اندازه‌گیری نیست.

۴. اثر سرعت موج برشی (β): برای بررسی اثر سرعت موج برشی سه ثبت با مقادیر $\beta = 3, \sqrt[3]{3}, \sqrt[3]{6}$ Km/s

شبیه‌سازی‌ها با ثابت نگه داشتن سایر پارامترها از مقادیر $0/45, 0/05, 0/03$ برای η استفاده شده است. با توجه به نمودار شکل ۲ دیده می‌شود که باز تغییرات شتاب طیفی در بسامدهای کم ناچیز است ولی با افزایش مقدار η در بسامدهای زیاد مقدار شتاب‌های طیفی و همچنین PGA افزایش یافته است. برای بحث دقیق ریاضی می‌توان گفت که با توجه به رابطه $Q = Q_0 f^\eta$ با افزایش مقدار η شتاب‌های طیفی در بسامدهای کمتر از یک هرتز اندکی کاهش می‌یابند چون بسامدهای کمتر از یک هرتز هر چه به توان بزرگ‌تری می‌رسند کوچک‌تر می‌شوند و می‌توان گفت که با افزایش η مقدار ضربی کیفیت برای بسامدهای کمتر از یک هرتز کاهش می‌یابد. با افزایش η برای بسامدهای بزرگ‌تر از یک هرتز مقدار ضربی کیفیت افزایش می‌یابد که در نتیجه مقدار شتاب‌های طیفی در این بسامدها افزایش خواهد یافت. مشخص است که تغییر η هیچ تأثیری روی مقدار شتاب طیفی در بسامد یک هرتز نخواهد داشت، چون یک به هر توانی برسد حاصل همان یک خواهد بود. برای نمونه یک شتاب‌نگاشت شبیه‌سازی شده متضایر مقادیر $180, 0/45$ و $0/05$ برای Q_0 و η در شکل ۳ نشان داده شده است.

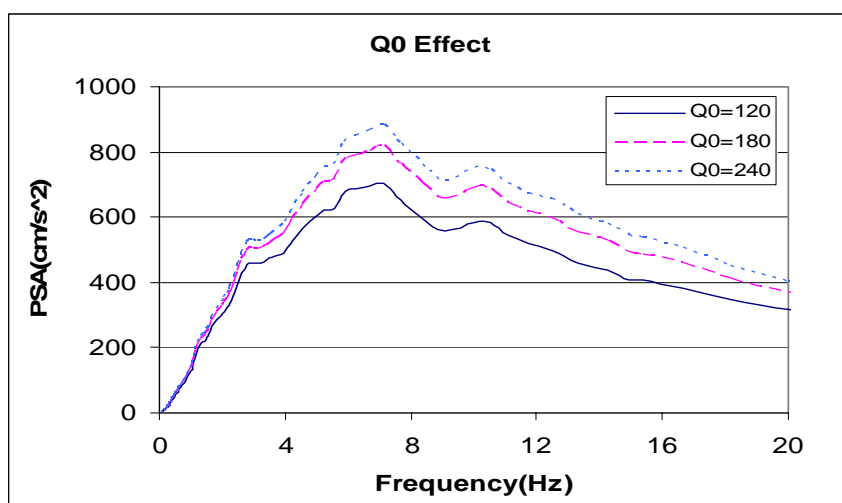
۲. اثر کاپا (k): برای بررسی اثر کاپا سه ثبت با مقادیر $k = 0/03, 0/05, 0/07$ شبیه‌سازی شده است. با توجه به نمودار شکل ۴ و همچنین با توجه به روابط (۱) و (۷) دیده می‌شود که با افزایش کاپا مقدار شتاب‌های طیفی و همچنین شتاب ماکریوم زمین، PGA کاهش می‌یابد که البته مقدار کاهش شتاب‌های طیفی در بسامدهای زیاد، بیشتر است. بنابراین اثر تغییر این پارامتر در نمودار شتاب طیفی بیشتر به صورت چرخشی است تا به صورت جابه‌جایی.

۳. اثر افت تنش ($\Delta\sigma$): برای بررسی اثر افت تنش سه

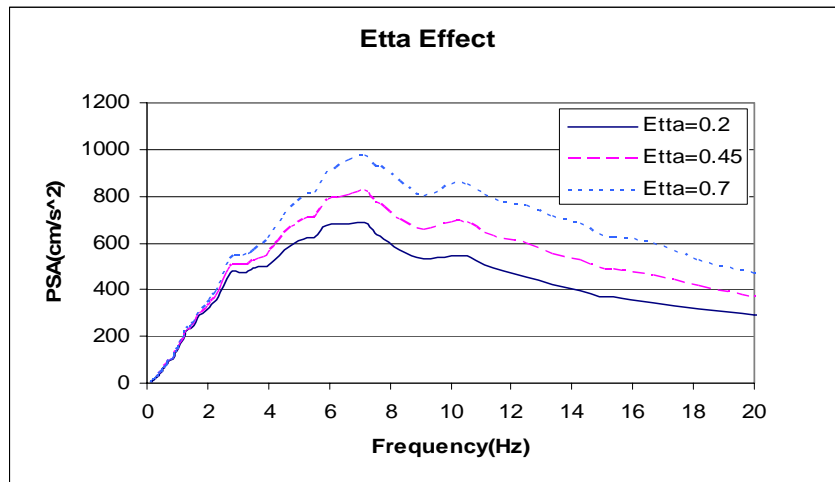
رسید امواج برشی از خردگسل‌ها به نقطه مشاهده مورد نظر کاهش می‌یابد. از همین رو مدت زمان ثبت شبیه‌سازی شده کاهش می‌یابد. همچنین با توجه به رابطه (۴) واضح است که افزایش سرعت موج برشی باعث افزایش بسامد گوشه ثبت شبیه‌سازی شده می‌شود.

۵. اثر چگالی محیط (ρ): برای بررسی اثر چگالی، سه ثابت با مقادیر $\rho = ۲/۰, ۲/۵, ۳/۰ \text{ gr.cm}^{-۳}$ ثبت شبیه‌سازی شده است. با توجه به نمودار شکل ۷ دیده می‌شود که با افزایش سرعت موج برشی، مقدار شبابهای طیفی و همچنین مقدار شباب ماکزیموم زمین، PGA کاهش می‌یابد. دلیل ریاضی این موضوع آن است که با توجه به روابط (۱)، (۲) و (۳) دیده می‌شود که ثابت C با چگالی نسبت معکوس دارد. بنابراین اگر چگالی، α برابر شود مقدار شباب ماکزیموم زمین (PGA)، شبابهای طیفی و همچنین طیف دامنه فوریه شباب نگاشت شبیه‌سازی شده، $1/\alpha$ برابر می‌شود. قابل ذکر است که چگالی فقط در رابطه (۳) که ثابت C محاسبه می‌شود، وجود دارد و در هیچ رابطه دیگری وارد نمی‌شود.

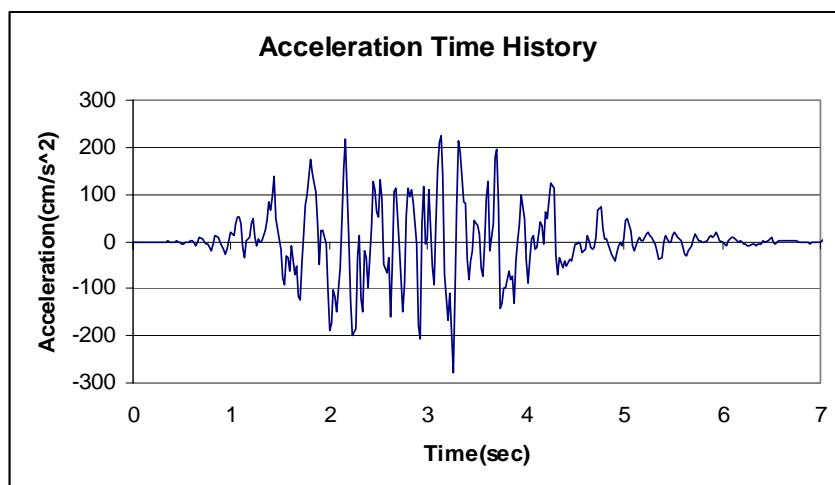
شبیه‌سازی شده است. با توجه به شکل ۶ دیده می‌شود که با افزایش سرعت موج برشی، مقدار شبابهای طیفی (همچنین مقدار شباب ماکزیموم زمین، یعنی PGA) کاهش می‌یابد. دلیل ریاضی این موضوع این است که کاهش ضریب C در رابطه (۳) که در آن سرعت موج برشی با توان ۳ در مخرج کسر قرار دارد شدیدتر از افزایش $A_n(f)$ در رابطه (۶) است. در شبیه‌سازی صورت گرفته، مدت زمان تاریخچه‌های زمانی شباب، متناظر سرعت‌های موج برشی $۳/۳, ۳/۰, ۳/۶$ کیلومتر بر ثانیه به ترتیب برابر $۱۰/۹, ۱۰/۵۴$ و $۱۰/۲۲$ ثانیه است که دیده می‌شود با افزایش سرعت موج برشی، مدت زمان شباب نگاشت شبیه‌سازی شده اندکی کاهش می‌یابد که البته در ادامه این کاهش توجیه شده است. می‌دانیم که سرعت شکست معمولاً درصدی از سرعت موج برشی فرض می‌شود (بین ۷۰ تا ۸۵ درصد سرعت موج برشی) و EXSIM هم فرض می‌کند که سرعت شکست برابر ۸۰ درصد سرعت موج برشی است. با افزایش سرعت موج برشی، سرعت شکست نیز افزایش می‌یابد که در نتیجه آن گسل سریع‌تر می‌شکند و همچنین تأخیرهای زمانی



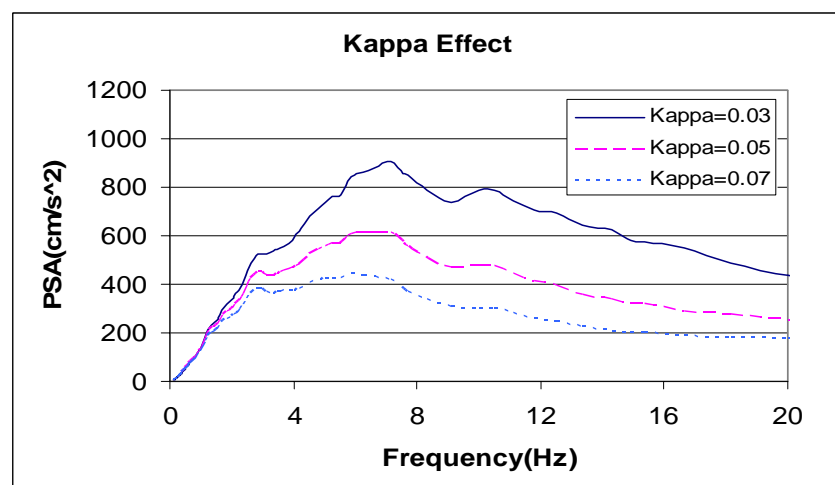
شکل ۱. شبابهای طیفی شبیه‌سازی شده به ازای مقادیر متفاوت Q_0 .



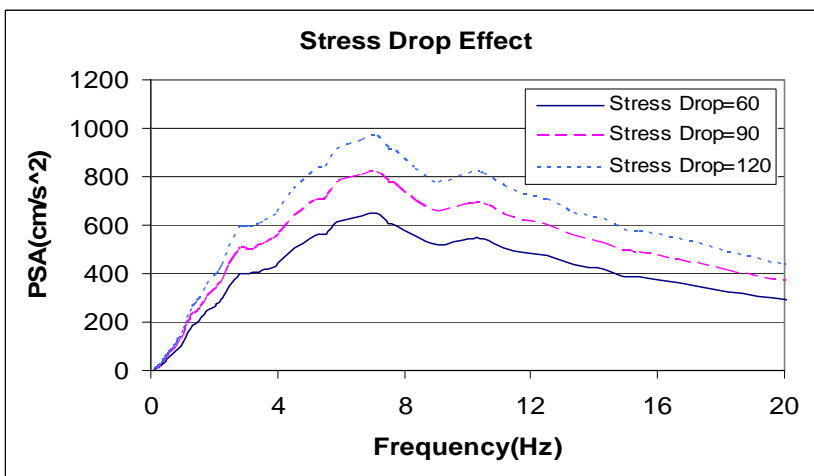
شکل ۲. شتاب‌های طیفی شبیه‌سازی شده به ازای مقادیر متفاوت η .



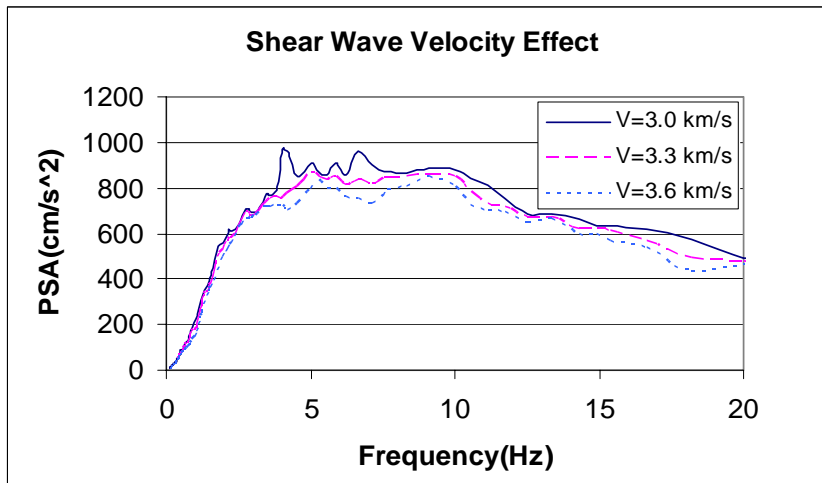
شکل ۳. نمونه تاریخچه زمانی شتاب‌نگاشت شبیه‌سازی شده.



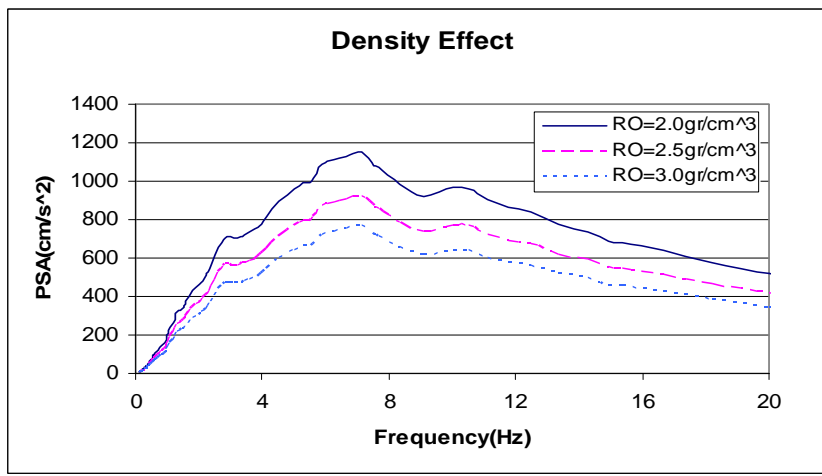
شکل ۴. شتاب‌های طیفی شبیه‌سازی شده به ازای مقادیر متفاوت κ .



شکل ۵. شتاب‌های طیفی شبیه‌سازی شده به ازای مقادیر متفاوت $\Delta\sigma$.



شکل ۶. شتاب‌های طیفی شبیه‌سازی شده به ازای مقادیر متفاوت β .



شکل ۷. شتاب‌های طیفی شبیه‌سازی شده به ازای مقادیر متفاوت ρ .

همچنین مدت زمان شتاب نگاشت شبیه‌سازی شده اند کی کاهش می‌یابد، چون گسل سریع‌تر می‌شکند و همچنین تأخیرهای زمانی رسید امواج برشی از خرد گسل‌ها به نقطه مشاهده مورد نظر کاهش می‌یابد.

۵. اگر چگالی α برابر شود مقدار شتاب ماکزیموم زمین (PGA)، شتاب‌های طیفی و همچنین طیف دامنه فوریه شتاب نگاشت شبیه‌سازی شده، $1/\alpha$ برابر می‌شود.

تشکر و قدردانی

از مباحثه با آقایان دکتر داریوش معتقدیان و کارن آستوریانس در مورد شبیه‌سازی زمین‌لرزه براساس روش گسل محدود و همچنین کار با برنامه شبیه‌سازی استفاده فراوان شده است، در اینجا از ایشان تشکر می‌شود.

منابع

- Atkinson, G. M., and Silva, W., 1997, An empirical study of earthquake source spectra for California earthquakes, *B. Seismol. Soc. Am.*, **87**, 97-113.
- Atkinson, G. M., and Silva, W., 2000, Stochastic modeling of California Ground Motions, *B. Seismol. Soc. Am.*, **90**(2), 255-274.
- Beresnev, I., and Atkinson, G. M., 1998a, FINSIM-a FORTRAN program for simulating stochastic acceleration time histories from finite faults. *Seism. Res. Lett.*, **69**, 27-32.
- Beresnev, I., and Atkinson, G., 1998b, Stochastic finite-fault modeling of ground motions from the 1994 Northridge, California earthquake. I. Validation on rock sites. *B. Seismol. Soc. Am.*, **88**, 1392-1401.
- Boore, D. M., 1983, Stochastic simulation of high-frequency motions based on seismological model of the radiated spectra, *B. Seismol. Soc. Am.*, **73**(6), 1865-1894.
- Boore, D. M., 2003, Simulation of ground motion using the stochastic method, *Pure Appl. Geophys.*, **160**, 635-676.
- Boore, D. M., and Atkinson, G. M., 1987, Stochastic prediction of ground motion and spectral response parameters at hard-rock sites

۶ نتیجه‌گیری

با توجه به شبیه‌سازی‌های صورت گرفته، نتایج کلی زیر به دست آمده است:

۱. اثر عمدۀ ضربیت کیفیت در بسامدهای زیاد است و تغییر این پارامتر تأثیر چندانی روی شتاب‌های طیفی در بسامدهای کم ندارد. با افزایش Q_0 در ضربیت کیفیت $Q = Q_0 f^n$ مقدار شتاب‌های طیفی و همچنین PGA (که همان شتاب طیفی نظیر بسامدهای بزرگ است) افزایش می‌یابد، البته مقدار افزایش شتاب طیفی در بسامدهای زیاد، بزرگ‌تر و در بسامدهای کم، کوچک‌تر است. با افزایش مقدار η شتاب‌های طیفی در بسامدهای کوچک‌تر از یک هرتز اندکی کاهش می‌یابد چون با افزایش η مقدار ضربیت کیفیت برای بسامدهای کوچک‌تر از یک هرتز کاهش می‌یابد. با افزایش η برای بسامدهای بزرگ‌تر از یک هرتز مقدار ضربیت کیفیت افزایش می‌یابد که درنتیجه مقدار شتاب‌های طیفی در این بسامدها افزایش خواهد یافت. تغییر η هیچ تأثیری روی مقدار شتاب طیفی در بسامد یک هرتز نخواهد داشت.
۲. با افزایش کاپا مقدار شتاب‌های طیفی و همچنین شتاب ماکزیموم زمین، PGA کاهش می‌یابد که البته مقدار کاهش شتاب‌های طیفی در بسامدهای زیاد، بیشتر است.
۳. با افزایش افت تنش، مقدار شتاب‌های طیفی افزایش می‌یابد، البته مقدار این افزایش در بسامدهای کم، ناچیز ولی در بسامدهای زیاد، قابل توجه است. همچنین تأثیر افزایش افت تنش در افزایش شتاب ماکزیموم زمین نسبت به افزایش سرعت و جابه‌جایی ماکزیموم زمین بیشتر است.
۴. با افزایش سرعت موج برشی، مقدار شتاب‌های طیفی و شتاب ماکزیموم زمین، PGA کاهش می‌یابد و

- in eastern North America, *B. Seismol. Soc. Am.*, **73**, 1865-1894.
- Boore, D. M., and Joyner, W. B., 1997, Site amplifications for generic rock sites, *B. Seismol. Soc. Am.*, **87**(2), 327-341.
- Hartzell, S., 1978, Earthquake aftershocks as Green's functions. *Geophys. Res. Lett.*, **5**, 1-14.
- Irikura, K., 1992, The construction of large earthquake by a superposition of small events, *Earthquake Engineering. Tenth world Conference*. Balkema. Rotterdam.
- Motazedian, D., and Atkinson, G. M., 2005, Stochastic Finite Fault Modeling Based on a Dynamic Corner Frequency, *B. Seismol. Soc. Am.*, **95**, 995-1010.